

Министерство высшего и среднего специального образования
РСФСР

Горьковский ордена Трудового Красного Знамени
научно-исследовательский радиофизический институт (НИРФИ)

Препринт № 256

ЛЧМ-ИОНОЗОНД И ЕГО ПРИМЕНЕНИЕ В ИОНОСФЕРНЫХ
ИССЛЕДОВАНИЯХ

Л.М.Брухимов
В.А.Иванов
Н.А.Митяков
В.П.Урядов
В.А.Фролов
В.В.Шумасер

Горький 1988

Барукимов Л.М., Иванов В.А.[†], Митяков Н.А.,
Урядов Р.Л., Фролов В.А.[†], Шумаков В.В.[†]

ЛЧМ-ИОНОЗОНД И ЕГО ПРИМЕНЕНИЕ В ИОНОСФЕРНЫХ ИССЛЕДОВАНИЯХ
// Препринт № 258. -- Горький: НИРФИ. - 1986. - 42 с.

УДК 551.510.536

Рассмотрены вопросы распространения линейно-частотно-модулированных (ЛЧМ) сигналов в ионосфере. Сделаны оценки разрешающей способности ЛЧМ-ионозонда применительно к вертикальному (ВЗ) и наклонному (НЗ) зондированию ионосферы. Изложена методика применения ЛЧМ-сигналов для диагностики нижней ионосферы (Д-область) методом частичных отражений (МЧО) и представлены результаты зондирования. Описана функциональная схема работы ЛЧМ-ионозонда в режимах ВЗ (включая МЧО) и НЗ ионосферы. Проведено сопоставление импульсного и ЛЧМ ионозондов. Представлены результаты экспериментальных исследований наклонного зондирования ионосферы ЛЧМ сигналами на трассах протяженностью 220, 2700, 5830 км. Обсуждаются возможности применения ЛЧМ-ионозонда в задачах ионосферного распространения КВ.

[†] Сотрудники Марийского политехнического института

В В Е Д Е Н И Е

Современные требования к уровням ионосферных исследований, выдвигаемые наукой и практикой, делают актуальной задачу разработки и внедрения новой диагностической техники, обладающей высокой разрешающей способностью, помехозащищенностью, лучшей электромагнитной совместимостью, меньшими масс-габаритными характеристиками и энергопотреблением по сравнению с традиционными методами исследования ионосферы, основанными на использовании простых, в частности, импульсных сигналов. Всем этим требованиям, на наш взгляд, удовлетворяет ЛЧМ-ионозонд, открывающий широкие возможности как для диагностики ионосферной плазмы, получения сведений о тонкой структуре ионосферы, так и решения специальных задач ионосферного распространения КВ.

В настоящей работе сделана попытка обобщить результаты проведенных совместно НИРФИ и МарПИ исследований по разработке и внедрению ЛЧМ-ионозонда на трассах вертикального (ВЗ) и наклонного (НЗ) зондирования ионосферы с целью практической реализации возможностей и преимуществ ионозонда с непрерывным излучением линейно-частотных модулированных сигналов.

Работа состоит из трех разделов. В первом разделе излагается методика вертикального и наклонного зондирования ионосферы непрерывными ЛЧМ-сигналами, рассматриваются основные положения теории распространения ЛЧМ-сигналов в регулярной ионосфере, обсуждаются возможности фазовых измерений. Рассматриваются условия применения ЛЧМ-сигналов для зондирования Д-области методом частичных отражений с целью определения профиля электронной концентрации, склоности ветра и других характеристик.

Во втором разделе приводится функциональная схема и дается описание работы ЛЧМ-ионозонда. Рассматривается метод цифрового синтеза непрерывного ЛЧМ-сигнала.

В третьем разделе представлены некоторые результаты экспериментальных исследований ВЗ и НЗ ($\lambda \sim 220,2700,5830$ км) ионосферы с помощью ЛЧМ-ионозонда. Основное внимание удалено диагностическим возможностям ЛЧМ-зондирования ионосферы. Проведено сопоставление

с импульсным ионозондом.

В заключении сформулированы основные результаты работы и обсуждаются перспективы использования ЛЧМ-ионозонда в задачах ионосферного распространения КВ.

I. МЕТОДИКА ЗОНДИРОВАНИЯ ИОНОСФЕРЫ НЕПРЕРЫВНЫМИ ЛЧМ-СИГНАЛАМИ

I.I. Вертикальное и наклонное зондирование регулярной ионосфера

Излучаемый в ионосферу ЛЧМ-сигнал можно представить в виде

$$a_t(t) = a_0(t) \cos 2\pi(f_a t + 0.5 \dot{f} t^2), \quad (I.I)$$

где

$$a_0(t) = \begin{cases} 1, & \text{если } t \in (t_a, t_b) \\ 0, & \text{если } t \notin (t_a, t_b) \end{cases}$$

t_a, t_b - начальная и конечная частоты излучения;

\dot{f} - скорость изменения частоты и $f = f_a + \dot{f} t$.

Произведение полосы сигнала на его длительность называют базой, которая в нашем случае для значений $f_a = 1 \text{ МГц}$, $f_b = 30 \text{ МГц}$, $\dot{f} = 10^4 \dots 10^6 \text{ с}^{-2}$ составляет $\sim 10^8 \dots 10^{10}$.

Непрерывные сигналы с ЛЧМ при распространении в ионосфере испытывают дисперсионные искажения амплитуды и фазы, в результате база сигнала в полной мере при обработке не реализуется, реализуется лишь база элемента сигнала, для которого дисперсионные искажения ничтожно малы. В работе /I/ показано, что элемент сигнала с полосой частот $A_{f_a} \approx 30 \dots 100 \text{ кГц}$ в диапазоне частот зондирования на трассе протяженностью $\sim 3 \text{ т.км}$ практически не испытывает дисперсионных искажений. База такого элемента сигнала при $\dot{f} = 10^4 \dots 10^6 \text{ с}^{-2}$ будет составлять $10^3 \dots 10^6$. Именно в таком отношении по-видимому следует ожидать увеличения отношения сигнал/помеха зондирующего сигнала на выходе приемника по сравнению с отношением на входе.

Итак, предположим, что время распространения сигнала в ионосфере зависит от частоты зондирования, однако, для диапазона $(f_n - \Delta f_s/2, f_n + \Delta f_s/2)$, где f_n - наблюдаемая частота, такой зависимостью можно пренебречь. На излучение сигнала в этом диапазоне частот требуется затратить время $T_s = \Delta f_s / \dot{f}$. За время T_s разность частот принимаемого и излучаемого сигналов будет постоянной и составит (см. рис. I.I.):

$$\Delta f = \frac{1}{4} \dot{f} T_s. \quad (I.2)$$

Величина τ_{gr} - характеризует запаздывание "группы" частот диапазона Δf_3 , и поэтому ее разумно назвать временем группового запаздывания сигнала на частоте f_n .

Полоса частот δF_3 , занимаемая элементом сигнала в разностных частотах F , будет определяться величиной T_3 . Поэтому справедлива оценка:

$$\delta F_3 \approx \frac{1}{T_3} . \quad (I.3)$$

Откуда неопределенность во времени группового запаздывания составит:

$$\delta \tau_{gr} = \frac{\delta F_3}{F} = \frac{1}{\Delta f_3} . \quad (I.4)$$

Следовательно, интервал времени, на котором групповое запаздывание практически не меняется и будет определять разрешающую способность ЛЧМ-метода зондирования ионосферы по величине группового запаздывания.

Теперь, опираясь на эту упрощенную модель, получим основные амплитудно-фазовые соотношения для ЛЧМ-сигналов, прошедших через ионосферный слой, после их оптимальной обработки в приемной аппаратуре.

Пусть в приемной аппаратуре обрабатывается не весь излучаемый сигнал, а лишь сигнал, принимаемый на масштабе ($\tau_n - \Delta \tau/2$,

$\tau_n + \Delta \tau/2$), где $\Delta \tau < T_3$. Поэтому нас будут интересовать характеристики сигнала на этом временному масштабе. Для решения поставленной задачи можно воспользоваться асимптотическим методом стационарной фазы (МСФ), который применяется в радиотехнике /2/ при оценке спектров широкополосных сигналов и который полностью отвечает рассматриваемому приближению.

Определим вначале спектр излучаемого сигнала на масштабе частот ($f_n - \Delta f/2$, $f_n + \Delta f/2$):

$$S(a_0) = \frac{1}{2} \int_{-\Delta \tau/2}^{\tau_n + \Delta \tau/2} a_0(t) \cdot e^{j(\frac{\beta t^2}{2} - (\omega - \omega_0)t)} dt , \quad (I.5)$$

где $\beta = 2\pi \frac{f}{t}$, $\omega_0 = 2\pi f_0$.

Формула (I.5) предполагает, что диапазон частот занимаемый элементом сигнала $\Delta f_3 \ll f_n$.

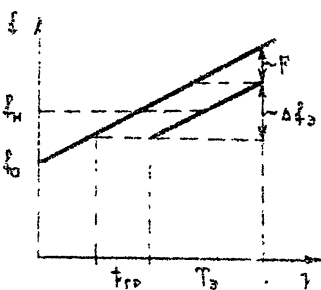


Рис. I.1

Условием применимости МСФ является соблюдение неравенства / 2 /:

$$\left| \frac{\beta}{\beta_2} \right| \gg \left(\frac{a'_0(\tau_H)}{a_0(\tau_H)} \right)^2 \quad , \quad (I.6)$$

которое в нашем случае выполнено, т.к. $a_0(\tau_H) = 1$ и $a'_0(\tau_H) = 0$, если конечно $\tau_H \neq 0$ или $\tau_H \neq (\tau_B - \tau_A)/\frac{1}{\beta}$. В рассматриваемом методе зондирования краевые эффекты не представляют интереса и поэтому мы их рассматривать не будем, учитывая это при обработке сигнала в приемнике.

Согласно / 3 / спектр зондирующего сигнала имеет вид:

$$S(a_s) = \frac{1}{2} \sqrt{\frac{2\pi}{\beta}} e^{-\left[\frac{(\omega - \omega_0)^2}{2\beta} + \frac{\pi^2}{4} \right]} \quad , \quad (I.7)$$

где $\omega \in (\omega_H - \Delta\omega, \omega_H + \Delta\omega)$, $\Delta\omega \sim (2..3)\sqrt{|\beta|}$.

Выражение (I.7) справедливо, когда $\omega_H \gg |\Delta\omega|$. В формуле (I.7) знак минус соответствует $\beta > 0$, а плюс $-\beta < 0$.

Распространяясь в ионосфере, монохроматическая волна частотой ω ослабляется на фактор $R(\omega)$ и ее фаза сдвигается на величину $\Psi(\omega)$. Поэтому спектр сигнала на выходе приемника можно представить в виде:

$$S(a_s) = S(a_t) \cdot R(\omega) \cdot e^{-i\Psi(\omega)} \quad . \quad (I.8)$$

где $\omega \in (\omega_H - \Delta\omega, \omega_H + \Delta\omega)$.

Формула (I.8) и МСФ позволяют определить амплитуду и фазу колебания $a_s(t)$ в точке приема в моменты времени, близкие к τ_H :

$$a_s(t) = \frac{1}{2\pi} \int_{\omega_H - \Delta\omega}^{\omega_H + \Delta\omega} S(a_s) \cdot e^{i\omega t} d\omega \quad . \quad (I.9)$$

Фаза подынтегральной функции равна:

$$\theta(\omega) = \frac{(\omega - \omega_0)^2}{2\beta} + \Psi(\omega) - \omega t \quad . \quad (I.10)$$

Откуда уравнение стационарной точки имеет вид / 4 /:

$$\frac{d\theta}{d\omega} \Big|_{\omega=\Omega} = \frac{\Omega - \omega_0}{\beta} + \Psi'(\Omega) - t = 0 \quad (I.11)$$

или $\Omega = \omega_0 + \beta(t - t_{rp})$,

где $t_{rp} = \Psi'_\omega$ — время группового запаздывания.

В окрестности точки стационарной фазы:

$$\theta(\omega) \approx \theta(\Omega) + \frac{\theta''}{2} (\omega - \Omega)^2 \quad . \quad (I.12)$$

Выражение (I.12) справедливо при условии

$$\frac{\theta''(\Omega)}{6} (\Delta\omega)^2 \ll 2\pi , \quad (I.I3)$$

которое эквивалентно неравенству:

$$\sqrt{|\frac{\theta''}{6}|^3} \frac{d^2 t_{rp}}{dt^2} \ll 1 . \quad (I.I4)$$

Согласно опенкам / 4,5 /, выражение, стоящее в левой части не превышает 10^{-3} , поэтому можно считать, что условие (I.I3) выполняется с хорошим запасом.

Нетрудно показать, что основной вклад в интеграл (I.9) будет давать окрестность стационарной тачке $\omega = \Omega$ радиуса:

$$\Delta\omega \sim \sqrt{\frac{2\pi}{|\theta''|}} \sim 2\pi\sqrt{\frac{t}{\theta''}} , \quad (I.I5)$$

для которой $\Delta\omega / \omega \ll 1$. Поэтому, можно положить

$$R(\omega) = R(\Omega) . \quad (I.I6)$$

Итак, принимая для фазы разложение (I.I2), а для амплитуды (I.I6), для $a_s(t)$ получим выражение / 4,5 /:

$$a_s(t) \approx \frac{1}{2} R(\Omega) \exp\left\{-i\left(\frac{\beta(t^2 - t_{rp}^2)}{2} - \omega_a t + \gamma(\Omega)\right)\right\} . \quad (I.I7)$$

Заметим, что уравнение (I.II) может иметь несколько решений Ω_k , т.е. несколько точек стационарной фазы, соответствующих, например, различным модам распространения сигнала. Если точки стационарной фазы удалены друг от друга на $\Delta\omega \gg 2\pi\sqrt{\frac{t}{\theta''}}$ (практически $\Delta\omega \sim 2\pi (2...3)\sqrt{\frac{t}{\theta''}} / 6$ /), то вместо (I.I7) следует рассматривать сумму:

$$a_s(t) \approx \frac{1}{2} \sum_{k=1}^n R(\Omega_k) \exp\left\{-i\left(\frac{\beta(t^2 - t_{rk}^2)}{2} - \omega_a t + \gamma(\Omega_k)\right)\right\} . \quad (I.I8)$$

Дальнейшее рассмотрение приведем для одной моды ионосферного сигнала.

В приемнике осуществляется корреляционная обработка принятого сигнала по формуле:

$$A_s(t) = a_s \cdot a_s^* \quad (I.I9)$$

$$A_s(t) \approx \frac{1}{2} R(\Omega) \cdot e^{i\Phi(\Omega)} , \quad t \in (t_h - \Delta t/2, t_h + \Delta t/2) , \quad (I.20)$$

где $\Phi(\Omega) = \theta_p - \theta_s = \gamma(\Omega) + 0.5 \beta t_{rp}^2$

Для определения дистанционно-частотной характеристики ионо-

сфера в ЛЧМ-искусствах измеряется спектр сигнала $A_s(t)$, за время $T_0 \ll T_3$. Поэтому вычислим его и мн:

$$S(A_s) = \frac{1}{2} \int_{-\infty}^{+\infty} R(\omega(t)) \cdot e^{i\Phi(\omega(t))} \cdot e^{-i\omega t} dt. \quad (I.21)$$

В данном случае $R(\omega)$ будет определять закон амплитудной модуляции, а $\Phi(\omega)$ – фазовой модуляции сигнала A_s – разностной частоты.

При учете движения среды фаза сигнала $A_s(t)$ будет не только функцией частоты, но и функцией времени, т.е. $\Phi = \Phi(\omega(t), t)$. Поэтому уравнение стационарной точки для (I.21) будет иметь вид:

$$\frac{d\Phi}{dt} - 2\pi F = 0, \quad (I.22)$$

где $\frac{d\Phi}{dt} = \frac{\partial\Phi}{\partial t} + \frac{\partial\Phi}{\partial \omega} \cdot \beta \approx \Omega_{\text{вн}} + \beta \dot{t}_{\text{тр}}$, ($\Omega_{\text{вн}} = 2\pi F_{\text{вн}}$ – дополнительное смещение частоты).

Здесь предполагалось, что $\frac{\partial\dot{t}_{\text{тр}}}{\partial t} \sim \frac{V}{c} \ll I$ (V – скорость движения плазмы в направлении траектории распространения волны.

Итак, уравнение стационарной точки имеет вид:

$$F = \dot{t}_{\text{тр}} + F_{\text{вн}}. \quad (I.23)$$

Следуя далее обычной методике МСФ, нетрудно показать / 4,5 /, что

$$S(A_s) \approx \frac{1}{2} R(\omega(t_0)) \cdot e^{i\Phi(t_0)} \sqrt{\frac{2\pi}{|\beta^2 \gamma|}} \cdot e^{\pm i\frac{\pi}{4}},$$

$$|S(A_s)| \approx \frac{1}{2} |R| \cdot \sqrt{\frac{2\pi}{|\beta^2 \gamma|}}, \quad (I.24)$$

где t_0 – время, когда мгновенная частота F разностного сигнала A_s пребывает значение, определяемое выражением (I.23).

На выходе аппаратуры оценивается спектр сигнала $S(A_s)$ разностной частоты F . Предположение одномодового характера принимаемого сигнала позволяет утверждать, что на масштабе времени сигнал A_s разностной частоты будет носить квазигармонический характер с частотой F (I.23). Его полоса δF будет определяться величиной элемента сигнала T_3 , т.е. составит

$$\delta F \approx \frac{1}{T_3}, \quad (I.25)$$

что создаст неопределенность в определении времени группового запаздывания, равную

$$\delta t_{\text{тр}} \approx \frac{1}{\Delta f_3}. \quad (I.26)$$

где $\Delta f_3 = \frac{1}{T_3}$.

Неопределенность в $t_{\text{тр}}$ вида (I.26) сохраняется и для многомодового сигнала. В этом случае оценка (I.26) будет определять раз-

решающую способность метода по модам распространения сигнала. На практике ее осуществляет анализатор спектра параллельного типа с элементами разрешения по частоте $\Delta F = 1/T_0$.

Например, для того, чтобы получить разрешающую способность не хуже $\Delta t_{rp} \approx 50$ мкс при $\frac{f}{f_0} = 10^5 \text{ с}^{-2}$ необходимо иметь элементы разрешения по частоте не более $\Delta F \approx 5 \text{ Гц}$.

Минимальная полоса анализа (полоса пропускания приемника) будет определяться диапазоном задержек Δt_{rp} всех мод сигнала за время его излучения, т.е.

$$\Delta F = \frac{1}{4} \Delta t_{rp} \quad , \quad (I.27)$$

который разбивается величиной ΔF на n -элементов.

Обычная методика определения по результатам ЛЧМ-зондирования зависимости $t_{rp} = t_{rp}(\frac{f}{f_0})$ - дистанционно-частотной характеристики (ДЧХ) на основе соотношения (I.23) предполагает малость F_0 , по сравнению с первым слагаемым. Как нетрудно видеть, это накладывает ограничения на величину $\frac{f}{f_0}$ снизу. Дисперсионные свойства среди приводят к искажениям элемента сигнала с полосой $\Delta f_0 = \frac{1}{4} T_0$, и тем самым ограничивают величину $\frac{f}{f_0}$ сверху. Для среднеширотных трасс обычно принимают $10^4 \text{ с}^{-2} \leq \frac{f}{f_0} \leq 10^6 \text{ с}^{-2}$.

При изменении зондирующей частоты спектр сигнала меняется: амплитуды спектральных компонент флюкутируют, перемещаются по оси частот F (из-за изменения t_{rp} от $\frac{f}{f_0}$), одни компоненты при этом появляются, а другие исчезают. Поэтому для анализа результатов ЛЧМ-зондирования применяется так же, как и при импульсном, панорамное отображение данных в виде зависимостей $t_{rp}(\frac{f}{f_0})$ - ДЧХ и $\sum_{k=1}^n a_{ok} R_k(\frac{f}{f_0})$ - АЧХ. (Методика обработки данных приведена в / 5 /)

Если кроме разностной частоты F проводить измерения фазы спектральных компонент разностного сигнала, то появляется возможность одновременно с величиной $t_{rp}(\frac{f}{f_0})$ получать данные о доплеровской скорости перемещения уровня отражения, углах прихода и т.п. Действительно, согласно (I.24) фаза спектральной компоненты сигнала на разностной частоте с точностью до почти постоянного слагаемого определяется фазовым набегом ψ элемента сигнала в ионосфере. Если сигнал $A_0(t)$ подвергается спектральному анализу с помощью БКФ-процессора, то наряду с амплитудным спектром имеется информация и о фазовом спектре. Пусть для i -й спектральной компоненты разностного сигнала значение фазы равно Φ_i . При изменениях времени или частоты зондирования приращение фазы Φ_i будут практически совпадать с приращениями фазы из-за изменений свойств ионосферы, т.е.:

$$(\Phi_i)_2 - (\Phi_i)_1 \approx \mathcal{F}_2 - \mathcal{F}_1 . \quad (I.28)$$

Если, например, определяется приращение фазы Φ_i за небольшие промежутки времени $\Delta t = T_3$ (при $f_n = \text{const}$), то

$$\frac{1}{2\pi} \frac{\Delta \Phi}{\Delta t} \approx \frac{1}{2\pi} \frac{d \mathcal{F}}{dt} = F_{\text{доп.}} . \quad (I.29)$$

Если же определяется приращение фазы Φ_i с изменением только частоты $f_{n2} = f_{n1} + \Delta f$, то при малых Δf :

$$\frac{1}{2\pi} \frac{\Delta \Phi}{\Delta f} \approx \frac{1}{2\pi} \frac{d \mathcal{F}}{df} = f_{\text{гр.}} . \quad (I.30)$$

Измерение разности фаз $(\Phi_i)_2 - (\Phi_i)_1$ спектральных компонент принимаемых на различные антенны сигналов, позволяет определять углы прихода и поляризационные характеристики сигналов.

Естественно, что для рассмотренных фазовых измерений необходимо использовать вместо одноструктурного, многоструктурный ЛЧМ-сигнал. Например, в / 7,8 / был предложен и реализован трехячеистый ЛЧМ-сигнал. Структура этого сигнала представлена на рис. I.2.

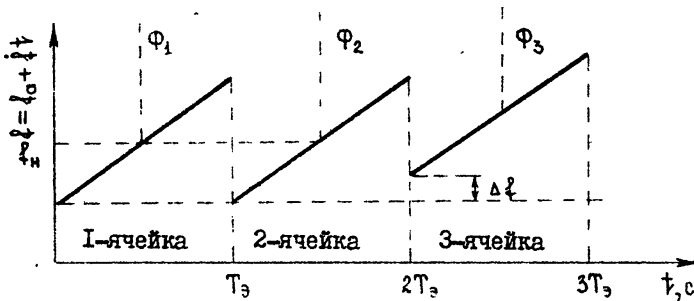


Рис. I.2

$$\text{Здесь } \frac{d \mathcal{F}}{dt} = \frac{\Phi_2 - \Phi_1}{T_3} = 2\pi F_q , \text{ а } \frac{d \mathcal{F}}{df} = \frac{\Phi_3 - \Phi_2 - (\Phi_2 - \Phi_1)}{\Delta f} = 2\pi f_{\text{гр.}}$$

При этом достигались точности измерений аналогичные точностям современных цифровых ионозондов.

Оценку помехозащищенности ЛЧМ-ионозонда можно получить сравнивая $S(a_s)$ и $S(A_s)$, отношение которых равно / 4 /:

$$m = \frac{|S(A_s)|^2}{|S(a_s)|^2} \approx \frac{1}{\left| \frac{d f_{\text{гр.}}}{d f} \right|} , \quad (I.31)$$

при условии

$$\left| \frac{d f_{\text{гр.}}}{d f} \right| \gg \left| \frac{\partial F_q}{\partial f} \right| . \quad (I.32)$$

Отношение m - естественно называть коэффициентом сжатия ЛЧМ-сигнала по спектру. Как следует из (I.31) величина m тем больше, чем меньше Δf_3 и $|d\hat{t}_{rp}/d\Delta f|$. При вертикальном зондировании (ВЗ) величина $|d\hat{t}_{rp}/d\Delta f| \sim 10^{-8} \dots 10^{-10}$, а при наклонном (НЗ) - для углов падения $45^\circ \dots 80^\circ$, $|d\hat{t}_{rp}/d\Delta f| \sim 10^{-9} \dots 10^{-12} / 4 /$. При таких значениях производной и $\Delta f = 10^5$ с⁻² для m имеем следующие оценки: для ВЗ $m \sim 10^3 \dots 10^5$, для НЗ $m \sim 10^4 \dots 10^7$.

Более простую оценку для m можно получить, предполагая линейную модель $\hat{t}_{rp}(\Delta f)$ (которая более реальна на малых элементах Δf). В этом случае

$$m \approx \frac{\Delta f_3}{\Delta F} \approx \frac{\Delta F}{\Delta f}, \quad (I.33)$$

где ΔF - полоса спектрального анализа (полоса пропускания приемника,

Δf - диапазон частот зондирующего сигнала.

Пусть на вход приемника действуют узкополосные помехи радиовещательных станций. В приемнике эти помехи трансформируются в широкополосные ЛЧМ-сигналы с угловым ускорением Δf , которые создают на ДЧХ вертикальные линии. Например, если на входе приемника присутствует помеха:

$$n_n(t) = n_0 \cos \omega_n t, \quad (I.34)$$

но на его выходе она имеет вид

$$n_n(t) = n_0 \cos [(\omega_n - \omega_a)t - 0.5 \beta t^2] \quad (I.35)$$

В то же время полезный сигнал является "квазигармоническим"

$$A(t) \approx R(f) \cos 2\pi F \cdot t, \quad (I.36)$$

где $F = \hat{t}_{rp} + F_{\text{доп}}$.

За время T_3 мощность помехи распределяется на полосу частот так, что спектральная плотность ее мощности будет равна:

$$N_n = \frac{P_{\text{пом}}}{\Delta f_3}. \quad (I.37)$$

Следовательно, на элемент ΔF будет приходится мощность помехи:

$$(P_{\text{пом}})_{\text{вых}} = \frac{P_n}{\Delta f_3} \cdot \Delta F = \frac{P_n}{m}. \quad (I.38)$$

Откуда

$$\left(\frac{P_c}{P_n} \right)_{\text{вых}} = m \left(\frac{P_c}{P_n} \right)_{\text{вх}}. \quad (I.39)$$

Итак, согласно (I.39) отношение сигнал/помеха на выходе ЛЧМ-приемника повышается в m -раз, что позволяет существенно сниять

I.2. Зондирование нижней ионосферы методом частичных отражений

Метод частичных отражений позволяет определять профили электронной концентрации, частоты соударений электронов с молекулами, скорость ветра, характеристики неоднородностей / 10 / и др. на высотах 60...100 км и является одним из основных наземных методов исследования Д-области ионосферы. Однако, применяемые для ее диагностики импульсные сигналы мощностью 0,1...1 МВт создают возмущения ионосферной плазмы на высотах ~ 60...90 км, что отчасти приводит к ошибкам определения ионосферных параметров.

Применение для зондирования Д-области сигналов с линейной частотной модуляцией позволяет реализовать известные из радиолокации преимущества сложных сигналов / 9 /. К ним относятся большой энергетический потенциал при малой мощности излучения, высокая электромагнитная совместимость, высокая разрешающая способность по дальности. Заметим, однако, что для достижения этих преимуществ к качеству ЛЧМ-аппаратуры, используемой в методе частичных отражений, предъявляются повышенные требования, которые подробно рассмотрены в монографии / 10 /.

В данной работе мы рассмотрим условия применения для зондирования Д-области ионосферы ЛЧМ-сигналов и методику определения основных параметров: $N(h)$ и $\bar{V}(h)$ – профилей в этом случае.

Предположим, что излучаемый в ионосферу ЛЧМ-сигнал можно представить в виде:

$$a_t(t) = \cos 2\pi (f_a t + 0.5 \dot{f} \cdot t^2) . \quad (I.40)$$

Тогда сигнал чаотично отраженный от неоднородности, которая расположена на высоте $h = 0,5c\tau$ (τ – время распространения сигнала, можно представить соотношением:

$$a_{S_{0,x}}(t) = R_{0,x} \cdot \Pi_{0,x} \cdot \cos 2\pi (f_a(t-\tau) + 0.5 \dot{f} (t-\tau)^2) , \quad (I.41)$$

где $\Pi_{0,x} = \exp(-2 \int_0^h \alpha_{0,x} dh)$, $\alpha_{0,x}$ – показатель поглощения обычновенной и необыкновенной волн, $\kappa_0 = \frac{\omega}{c}$, $\omega = 2\pi f$, f – рабочая частота, $R_{0,x}$ – коэффициент отражения обычновенной и необыкновенной волны.

В наших упрощенных рассуждениях мы будем считать, что ЛЧМ-сигналы узкополосные, т.е. $\Delta f \ll f_a$ (где $\Delta f = \frac{1}{2} \tau_u$, τ_u - длительность частотной развертки).

Предполагается, что отражающие неоднородности эшелонированы по высоте, тогда разность частот F_r сигналов (I.40), (I.41) в любой момент времени t однозначно определяет время распространения τ (и высоту отражения):

$$F_r = \frac{1}{2} \tau . \quad (I.42)$$

Например, для высот Д-области ионосферы ($h = 50 \dots 100$ км) время распространения сигналов составляет 333...666 мкс и при $\frac{1}{2} = 100$ кГц/с разностные частоты F_r будут находиться в диапазоне от 33 Гц до 66 Гц.

Из (I.42) можно по F_r определить высоту h до отражающей неоднородности:

$$h = \frac{F_r \cdot c}{2 \frac{1}{2}} . \quad (I.43)$$

Формирование сигнала разностной частоты осуществляется путем перемножения a_1 на a_5 в смесителе и выделения в сигнале $(a_1 a_5)_{0,x}$ низкочастотной составляющей $A_{0,x}(t)$ с помощью фильтра низких частот.

Учитывая формулы (I.40) и (I.41) для $A_{0,x}(t)$ получим выражение:

$$A_{0,x}(t) = R_{0,x} \cdot \Pi_{0,x} \cos(2\pi F_r \cdot t + \Psi_0) , , \quad (I.44)$$

где $\Psi_0 = 2\pi (\frac{1}{2} \cdot t - 0.5 \frac{1}{2} \tau^2)$ – фаза колебания $A_{0,x}$. Соотношение (I.44) показывает, что каждой высоте отражения в спектре сигнала $F_{0,x}[A_{0,x}]$ будет соответствовать составляющая на частоте $F_r(h)$ с амплитудой, равной $R_{0,x} \Pi_{0,x}$:

$$F_{0,x}[A_{0,x}] = R_{0,x} \cdot \Pi_{0,x} . \quad (I.45)$$

Нетрудно заметить, что амплитуды спектральных составляющих $R_{0,x} \Pi_{0,x}$ несут ту же информацию о параметрах исследуемой Д-области ионосферы, что и амплитуды отраженных импульсов при импульсном зондировании, с той лишь разницей, что высота отражения от неоднородностей здесь определяется не по времени запаздывания отраженного импульса ($t = 2h/c$), а по разностной частоте $F_r = \frac{1}{2} \frac{2h}{c}$.

При импульсном зондировании разрешающая способность метода частичных отражений по высоте определяется вертикальными размерами импульсного объема:

$$\Delta h = \pm \frac{L}{2} = \pm \frac{c \tau_u}{2} = \pm \frac{c}{2 \Delta f} , \quad (I.46)$$

где $\Delta f = 1/\tau_u$.

Рассмотрим вопрос о разрешающей способности метода в случае применения ПЧМ-сигналов. Используя формулу (I.43), для высоты отражения h получим следующее соотношение:

$$h = \frac{c F_r \cdot \tau}{2 \Delta f} , \quad (I.47)$$

где $\Delta f = \frac{1}{\tau} \tau_u$.

Поскольку продолжительность отраженного сигнала на выходе приемника равна длительности частотной развертки, то его спектр будет занимать полосу частот $F_r \pm 1/\tau_u$. Этой полосе частот будет соответствовать некоторый пространственный объем с центром на высоте h и размером L , причем:

$$h \pm \frac{L}{2} = \frac{c \tau_u}{2 \Delta f} \left(F_r \pm \frac{1}{\tau_u} \right) . \quad (I.48)$$

Обозначим $L/2 = \Delta h$ и используя (I.47), из выражения (I.48) получим следующую оценку:

$$\Delta h = \pm \frac{c}{2 \Delta f} . \quad (I.49)$$

Если в отражении сигнала будут участвовать несколько неоднородностей, расположенных на высотах, отличающихся меньше, чем на Δh , то отраженные сигналы не будут различаться в приемной аппаратуре. Поэтому естественно величину, равную $\Delta h = \pm c/2 \Delta f$ ($\Delta f = \frac{1}{\tau} \tau_u$) назвать разрешающей способностью по высоте.

Согласно (I.49) и (I.46), например, разрешающая способность при зондировании Д-области сигналами с $\Delta f = \frac{1}{\tau} \tau_u = 100$ кГц будет такой же как и в случае применения импульсного сигнала длительностью 20 мкс.

Нетрудно показать, что оценку помехозащищенности ПЧМ-ионозонда можно получить на основе соотношения (I.33):

$$m = \frac{\Delta f}{\Delta F} , \quad (I.50)$$

где $\Delta F = \frac{1}{2} T_u$, ΔF – полоса пропускания приемника. Например, при $\Delta f = 100$ кГц и $\Delta F = 50$ Гц ($\frac{1}{2} = 100$ кГц/с, $T_u = 1$ с) $m \approx 10^3$, т.е. при одинаковой разрешающей способности импульсного и ЛЧМ-ионозонда излучаемая мощность ЛЧМ-сигнала может быть на 3 – порядка меньше мощности излучения импульсного ионозонда. Как видно из (I.50) с ростом T_u увеличивается помехозащищенность ЛЧМ-ионозонда. Однако в следствии перемещения отражающих неоднородностей могут возникнуть изменения частоты F_r (из-за эффекта Доплера), которые будут восприниматься как изменения в высоте отражающих неоднородностей. Чтобы не усложнять аппаратуру для исключения влияния эффекта разумно выбрать T_u таким, чтобы отражающие неоднородности за время T_u оставались почти неподвижными. Сделаем соответствующие оценки.

Рассмотрим два направления движения неоднородностей на заданной высоте h : горизонтальное со скоростью V и вертикальное со скоростью V' . При вертикальном перемещении отражающей неоднородности, частота отраженного сигнала меняется на величину $\pm 2 \frac{V}{c} \frac{1}{2}$. В результате на выходе приемника разностная частота F_r также изменится на эту величину и будет составлять:

$$F_r + F_g , \quad (I.51)$$

$$\text{где } F_g = \pm 2 \frac{V}{c} \frac{1}{2}$$

Второе слагаемое будем воспринимать как погрешность определения разностной частоты или высоты отражения:

$$\Delta h_g = \pm \frac{V}{c} \frac{1}{2} = \pm \frac{V \cdot \frac{1}{2} T_u}{\Delta f} . \quad (I.52)$$

Погрешность $\Delta h_g > 0$, если \vec{V} – направлена вверх и $\Delta h_g < 0$ – если вниз, при $\frac{1}{2} > 0$.

Если для зондирования ионосфера одновременно используются сигналы с $\frac{1}{2} > 0$ и $\frac{1}{2} < 0$, то появляется возможность определения \vec{V} и устранения ошибки Δh_g .

Оценки величины Δh_g в случае, когда зондирование осуществляется на частотах $f_1 = 3$ МГц и $f_2 = 6$ МГц, при $\Delta f = 100$ кГц и $V = 10$ м/с представлены в таблице I.1. Согласно этим данным длительность частотной развертки следует ограничить примерно 1 с. При $T_u < 1$ с, очевидно, не требуется усложнять аппаратуру для

определения Δh_g .

Таблица I.I.

$d\frac{f}{dt}$ / $d\frac{f}{dt}$, кГц/с	10	50	100	1000
T_u , с	10	2	1	0,1
$\Delta h_g (l_1)$, км	3	0,6	0,3	0,03
$\Delta h_g (l_2)$, км	6	1,2	0,6	0,06

При горизонтальном движении неоднородностей со скоростью V , на высоте, где происходит отражение зондирующей радиоволны, доплеровские частоты занимают полосу шириной $4 \frac{V \sin \theta_A}{c} f$ (θ_A – полуширина диаграммы направленности антенны) с центральной частотой F_f . При $V = 100$ м/с и $\theta_A = 10^\circ$ получим $V \sin \theta_A = 20$ м/с, при $V = 50$ м/с – $V \sin \theta_A = 10$ м/с и для оценок уширения можем воспользоваться данными из таблицы I.I.

Коэффициент отражения R_o в рассматриваемой модели можно выразить формулой Френеля:

$$R_{o,x} \approx \frac{\Delta n_{o,x}}{2} \approx 0,5 \frac{\partial n_{o,x}}{\partial N} \cdot \Delta N \quad (I.53)$$

где $\Delta n_{o,x}$ – флюктуационное приращение показателя преломления, ΔN – приращение электронной концентрации.

Учтем далее, что сигнал носит случайный характер, в силу случайности флюктуаций электронной концентрации и найдем среднеквадратичные значения:

$$\langle A_{o,x}^2 \rangle = |R_{o,x}|^2 \cdot \Pi_{o,x}^2, \quad (I.54)$$

где $|R_{o,x}|^2 = \left| \frac{\partial n_{o,x}}{\partial N} \right|^2 \langle (\Delta N)^2 \rangle$.

Отношение $\langle A_x^2 \rangle / \langle A_c^2 \rangle$ в этом случае будет равно:

$$A^2(h) = R^2(h) \cdot \Pi^2(h) , \quad (I.55)$$

где $R^2 = |R_x|^2 / |R_o|^2 = \left| \frac{\partial n_x}{\partial N} \right|^2 / \left| \frac{\partial n_o}{\partial N} \right|^2 ,$

$$\Pi^2 = \exp \left(-4 K_0 \int_0^h \frac{(x_o - x_x)}{N} \cdot N dh \right) .$$

В работе / 9 / показано, что вид коэффициента отражения $R_{o,x}$ зависит от модели области отражения (частичное отражение, объемное рассеяние) и будет отличаться от (I.51) геометрическими факторами. Однако отношение $|R_x|^2 / |R_o|^2$ при условии не очень большого поглощения в объем рассеяния практически не зависит от модели и определяется соотношением (I.55).

Формула (I.55) позволяет определить профиль $N(h)$:

$$N(h) = \frac{\lg [R(h_2)/R(h_1)] - \lg [A(h_2)/A(h_1)]}{M(h)} , \quad (I.56)$$

где $M = \frac{2 \lg e \cdot K_0 (x_o - x_x) \cdot \Delta h}{N} , \Delta h = h_2 - h_1 , h = \frac{h_2 + h_1}{2} , h_{1,2} -$ две близких высоты, для которых измеряются величины $\langle A_{o,x}^2 \rangle$.

С середины шестидесятых годов для исследования движений в D-области ионосферы стал применяться метод пространственно-разнесенного приема частично отраженных радиоволн (см. / II /). Использование для зондирования LFM-сигналов также позволяет реализовать данный метод при значительно меньшей мощности излучения.

Предположим, что поле частично отраженных радиоволн создает на поверхности Земли дифракционную картину, в которой условно можно выделить линии равной освещенности (см. рис. I.3). Вследствие движения неоднородностей эти линии будут перемещаться по поверхности Земли со скоростью \vec{v} , проходя через точки приема, расположенные, например, в вершинах равнобедренного прямоугольного треугольника с катетами (базами) x_o и y_o . Поэтому картина флуктуаций амплитуд сигналов в антенах будет повторяться с некоторым сдвигом во времени $T_{x,y}$, который определяется скоростью перемещения дифракционной картины между приемными антennами.

Если вычислить коэффициент кросс-корреляции амплитуд сигналов

лов, принятых антеннами на базе x_0 по формуле:

$$\rho_A(x_0, t) = \frac{\langle A_1(t) \cdot A_2(t - \tau) \rangle - \langle A_1 \rangle \langle A_2 \rangle}{(\langle A_1^2 \rangle - \langle A_1 \rangle^2)^{0.5} \cdot (\langle A_2^2 \rangle - \langle A_2 \rangle^2)^{0.5}}, \quad (I.57)$$

где $A_{1,2}(t)$ – амплитуды сигналов в первой и второй антенных соответственно.

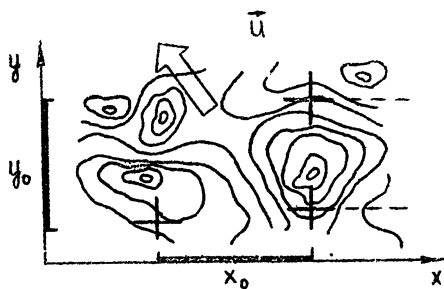


Рис. I.3

Максимум $\rho_A(x_0, t)$, естественно, будет смещен относительно начала координат на величину τ_x . Другой коэффициент корреляции $\rho_A(y_0, t)$ амплитуд сигналов, принятых на базе y_0 , будет смещен на τ_y .

Согласно рис I.3 скорость перемещения линий равной освещенности в направлении базы x_0 равна:

$$(U_K)_x = \frac{U}{\cos \psi}, \quad (I.58)$$

где U – величина скорости движения дифракционной картины,

ψ – угол между \vec{u} и направлением базы x_0 .

Аналогично, скорость перемещения в направлении базы y_0 составит:

$$(U_K)_y = \frac{U}{\sin \psi}. \quad (I.59)$$

Принимая во внимание, что $(U_k)_x = \frac{X_0}{r_x}$, а $(U_k)_y = \frac{Y_0}{r_y}$
получим

$$V = \frac{U}{2} = \frac{X_0 Y_0}{\sqrt{X_0^2 r_y^2 + Y_0^2 r_x^2}}, \quad \text{тогда } \Psi = \frac{X_0 r_y}{Y_0 r_x}. \quad (I.60)$$

Здесь учтено, что из-за сферичности волны, излучаемой наземным передатчиком, дифракционная картина движется со скоростью \bar{V} вдвое превышающей скорость \tilde{V} перемещения самих неоднородностей. Использование для зондирования ЛЧМ-сигналов предполагает, что $r_u \ll r_{x,y}$, а для исключения поляризационного блинга в приемной аппаратуре разделяются магнитоионные компоненты сигналов.

Можно показать, что для модели объемного рассеяния формулы для определения V и Ψ сохраняются, однако результаты измерений \tilde{V} будут определять некоторую среднюю скорость неоднородностей в рассеивающем объеме. Поэтому при значительных вертикальных размерах объема могут возникнуть ошибки в определении V и Ψ , которые оказываются наиболее значительными в окрестности точки ветрового сдвига / 12 /. В этой связи более предпочтительным оказывается зондирование ионосферы ЛЧМ-сигналами, с помощью которых удается получить предельно малые по вертикали объемы рассеяния.

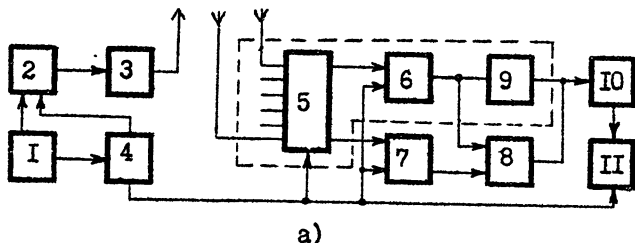
Размер базы $X_0 Y_0$ между антennами определяется пространственным радиусом корреляции для дифракционной картины, которая, как показали экспериментальные исследования / 13 /, увеличивается с уменьшением диаграммы направленности излучающей антенны. Оптимально поэтому проведение экспериментов по определению профиля ветра $\tilde{V}(h)$ в Д-области ионосферы с использованием излучающих антенн с $\theta_A \sim 10^\circ \dots 20^\circ$.

2. ЛЧМ-ИОНОЗОНД

2.1. ЛЧМ-ионозонд для вертикального зондирования ионосферы

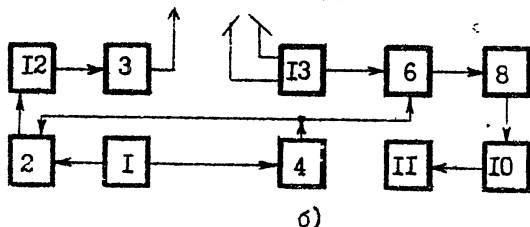
Функциональная схема ионозонда для вертикального зондирования ионосферы представлена на рис. 2.1а. ЛЧМ-синтезатор (2) формирует непрерывный частотномодулированный сигнал во всем КВ-диапазоне. Скорость изменения частоты имеет диапазон от 10^4 c^{-2} до 10^6 c^{-2} . Мощность излучения может достигать 100 Вт. Полоса про-

ЛЧМ-ионозонд для ВЭИ



a)

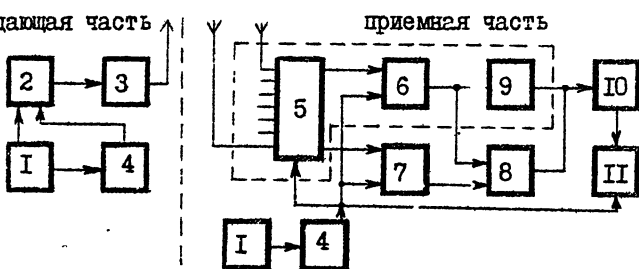
ЛЧМ-ионозонд для МЧО



b)

ЛЧМ-ионозонд для НЭИ

передающая часть | приемная часть



c)

I - стандарт частоты, 2 - ЛЧМ-синтезатор, 3 - усилитель мощности, 4 - контроллер, 5 - антенный коммутатор, 6 - первый ЛЧМ-приемник, 7 - второй ЛЧМ-приемник, 8 - анализатор спектра типа С4-54, 9 - БПФ-анализатор спектра, 10 - накопитель на магнитной ленте, II - микро-ЭВМ, 12 - модулятор гауссовой огибающей, 13 - широкополосный фазовращатель на $\pm 90^\circ$.

Рис. 2.1

пускания приемника имеет значения 0,3 кГц и 1 кГц. Анализатор спектра типа С4-54 осуществляет оценку энергетического спектра разностного сигнала $A_5(\tau)$. Разностный сигнал также регистрируется на магнитофон (10), а ВЧХ отображается на дисплее микро-ЭВМ. Контролер (4) управляет работой ионозонда. ЛЧМ-ионозонд имеет незначительные габариты и вес, что определяет его мобильность и упрощает проведение экспериментов.

В настоящее время разрабатываются узлы ионозонда обведенные на рис.2.1а пунктирной линией. Это позволит кроме ВЧХ и АЧХ осуществлять фазовые измерения и определять углы прихода волны, поляризацию, дошлеровские скорости и т.д. Фаза разностного сигнала будет оцениваться с помощью БИФ-анализатора спектра, производящего вычисление амплитудного и фазового спектров в 1000 точках за 20 мс.

Дальнейшие разработки также направлены на создание ионозонда с минимально малой мощностью излучаемого сигнала. Одним из направлений работ является создание адаптивного ЧМ-зонда, закон модуляции частоты в котором определяется дисперсионными свойствами ионосферы.

2.2. ЛЧМ-ионозонд для диагностики Д-области ионосферы методом частичных отражений

Функциональная схема ионозонда приведена на рис. 2.1б. Ионозонд работал на частоте $f = 5,75 \pm 0,05$ МГц и имел мощность излучения 1 кВт. Уровень шумов ЛЧМ-генератора в этом диапазоне частот был не хуже минус 75 дБ. Для уменьшения боковых полос в спектре сжатого сигнала применялась гауссова огибающая с длительностью 0,5 с на уровне 0,38. Излучался ЛЧМ-сигнал линейной поляризации с помощью ромбической антенны, а для приема использовалась антennaя система НИРФИ. Развязка между поляризациями была не хуже минус 30 дБ.

2.3. ЛЧМ-ионозонд для наклонного зондирования ионосферы

Функциональная схема ионозонда представлена на рис. 2.1в. Диапазон рабочих частот ионозонда перекрывает КВ и УКВ-диапазоны. Скорость изменения частоты имеет диапазон от 10^4 до 10^6 с⁻².

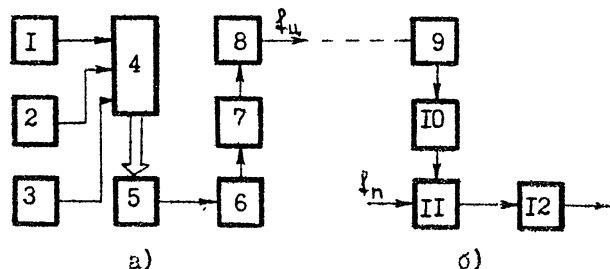
Усилители мощности двух типов обеспечивают диапазон излучаемых мощностей сигнала, необходимый для решения различных научно-исследовательских задач. Полоса пропускания приемника имеет значения 0,3 кГц, 1 кГц, 3 кГц и 10 кГц. ЛЧМ-ионозонд реализует необходимую разрешающую способность по амплитуде, времени группового залазывания и по частоте.

Синхронизация пространственно-разнесенных частей ионозонда весьма просто может быть осуществлена с помощью зондирующего ЛЧМ-сигнала по методике разработанной авторами / 5 /.

БИФ-анализатор спектра предназначен для выполнения фазовых измерений, что позволяет определять углы прихода, доплеровские скорости и др. Такие измерения планируются проводить на базе развернутой НИРФИ и Мар.ПИ сети станций ЛЧМ-зондирования ионосферы. ЛЧМ-ионозонд из-за большого энергетического потенциала сигнала является незаменимым средством диагностики ионосферы на трассах большой протяженности.

2.4. ЛЧМ-синтезатор синусоидального сигнала

Цифровой синтезатор ЛЧМ-сигнала разработан в Мариинском политехническом институте на базе изобретения / 14 /. Функциональная схема его представлена на рис. 2.2.



1 - блок задания режимов, 2 - блок вычислителя скорости изменения частоты, 3 - вычислитель кодов частоты, 4 - фазовый вычислитель, 5 - логический блок, 6 - ПЗУ, 7 - ЦАП, 8 - ФНЧ, 9 - однополосный модулятор, 10 - умножитель частоты, II - перемножитель сигналов, I2 - ФНЧ

Рис. 2.2

Основными узлами синтезатора являются: вычислитель (4) фазы ϑ_4 и функциональный преобразователь (5,6) $\vartheta_4 \rightarrow \sin \vartheta_4$.

Рассмотрим принцип метода и алгоритм работы синтезатора. Каждое вычисление ϑ_4 и $\sin \vartheta_4$ происходит с приходом тактирующего импульса. При этом фаза сигнала вычисляется по формуле:

$$\vartheta_4 = s \cdot p \frac{2\pi}{2^N} , \quad (2.1)$$

где s – номер такта,

p – код частоты,

N – разрядность фазового вычислителя.

Вычислитель фазы строится по схеме накапливающего сумматора.

Цифровой функциональный преобразователь, обеспечивающий высокое быстродействие, построен на основе таблицы синусов, записанной в ПЗУ. В этом случае для обращения к ПЗУ приходится осуществлять квантование фазы ϑ_4 синтезируемого сигнала с шагом

$\Delta \vartheta_k$. Поскольку для синусоиды достаточно задать таблицу ее значений на интервале $[0, \pi/2]$, то шаг $\Delta \vartheta_k$ можно представить следующей формулой:

$$\Delta \vartheta_k = \frac{\pi}{2} \cdot \frac{1}{2^k} , \quad (2.2)$$

где k – число разрядов адресных входов ПЗУ ($k < N$).

ПЗУ соединяется с быстродействующим цифроаналоговым преобразователем (ЦАП).

Квантование по фазе и амплитуде при данном методе синтеза приводит к отклонениям формируемого сигнала от синусоидального и появлению в его спектре шумовых побочных составляющих, уровень которых можно оценить по формулам / 5 /:

$$\mathcal{D}_A(\text{dB}) \approx -7 \cdot e ; \quad \mathcal{D}_y(\text{dB}) \approx -6.8(k+1) , \quad (2.3)$$

где $\mathcal{D}_{A,y}$ – уровень амплитудных и фазовых шумов соответственно, e – разрядность ЦАП.

Цифровой метод формирования ЛЧМ-сигнала предполагает ступенчатую аппроксимацию линейного закона модуляции. Рассмотрим в этой связи алгоритм работы синтезатора.

Предположим, что сигнал a_s приближается к идеальному ЛЧМ-сигналу, заданному следующей формулой:

$$a(t) = \sin 2\pi (\frac{f_a}{t} + 0.5 \frac{f}{t^2}) t \quad . \quad (2.4)$$

Пусть при $t = t_1$ фаза сигнала a_u , со ступенчатым законом модуляции, совпадает с фазой сигнала (2.4). Поэтому при $t > t_1$ рассматриваемый сигнал будет иметь вид (рис. 2.3):

$$a_u(t) = \sin [2\pi (\frac{f_u}{t} - \frac{f}{t^2}) t] + \vartheta_1 \quad , \quad (2.5)$$

$$\text{где } \vartheta_1 = 2\pi (\frac{f_u}{t_1} + 0.5 \frac{f}{t_1^2}) \quad .$$

При $t > t_1$ фазы сигналов (2.4) и (2.5) будут меняться по следующим законам:

$$\vartheta_t = 2\pi f_a (t + \tau) + \pi \frac{f}{t} (t_1 + \tau) = \vartheta_1 + 2\pi f_a \tau + 2\pi \frac{f}{t} t_1 + \pi \frac{f}{t} \tau^2, \quad (2.6)$$

$$\vartheta_u = 2\pi f_u \tau + \vartheta_1 \quad ,$$

$$\text{где } \tau = t - t_1 \quad .$$

Фазы двух сигналов равны снова, если τ удовлетворяет следующему уравнению:

$$0.5 \frac{f}{t} \tau^2 + \frac{f}{t} t_1 \tau - \Delta f \cdot \tau = 0, \quad (2.7)$$

$$\text{где } \Delta f = f_u - f_a \quad .$$

Нетривиальное решение уравнения (2.7) имеет вид:

$$\tau_0 = \frac{\Delta f_0}{\frac{f}{t}} \quad , \quad (2.8)$$

$$\text{где } \Delta f_0 = 2(f_0 - f_1), \quad f_1 = f_a + \frac{f}{t_1}$$

- Если через каждый интервал времени τ_0 менять частоту сигнала генератора на величину Δf_0 , получим ступенчатое приближение линейного закона модуляции. По условию $\vartheta_t = \vartheta_u$ в момент переключения частоты фаза сигнала (2.5) не претерпевает разрывов, однако, внутри интервала появляется фазовая погрешность (рис. 2.3).

$$\Theta(\tau) = \vartheta_u - \vartheta_t = \Delta f_0 \cdot \tau - 0.5 \frac{f}{t} \tau^2, \quad (2.9)$$

которая достигает своего максимального значения Θ_m при $\tau = \tau_0/2$:

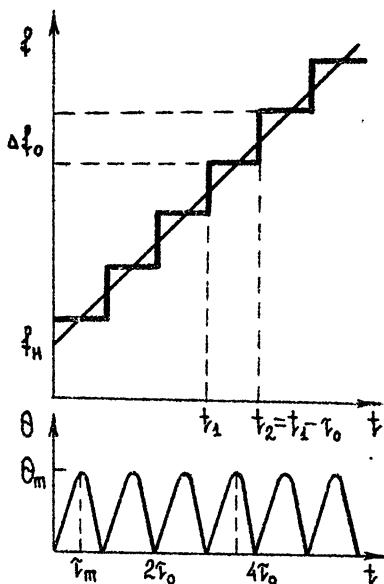


Рис. 2.3

$$\theta_m = \frac{\pi}{4} \Delta f_0 \cdot t \quad (2.10)$$

Если, например, задать $\Delta f_0 = 1$ Гц, а $t_0 = 10$ мкс ($f = 100$ кГц/с), то $\theta_m = 4,5 \cdot 10^{-4}$. Эта погрешность будет создавать в спектре сжатого сигнала боковые "лепестки" на расстоянии 100 кГц с амплитудами не более 10^{-4} . Минимальный шаг Δf_0 определяется разрядностью N – фазового вычислителя.

Итак, сигнал со ступенчатым законом модуляции частоты, в котором при переключении частоты фазы сигнала не претерпевает разрывов, является практически хорошей моделью сигнала, с частотой, изменяющейся строго по линейному закону.

Линейные изменения кода p в фазе Ψ_n (2.1) через интервалы времени t_0 и будет приводить к синтезу ЛЧМ-сигнала при данном методе.

Современная элементная база позволяет формировать ЛЧМ-сигнал до частот ~ 10 МГц. Для обеспечения зондирования в КВ и УКВ – диапазонах необходимо было расширить диапазон синтезируемых частот. Для этих целей синтезатор был дополнен устройством, функциональная схема которого приведена на рис.2.2б. Сигналы с цифрового ЛЧМ-синтезатора поступают на однополосный модулятор (9), а затем частота сигнала умножается. С помощью частоты f_n "подставки" и ФНЧ спектр сигнала переносится в область низких частот.

Синтезатор допускает введение в сигнал фазовой, частотной модуляции, что необходимо для осуществления адаптивного ионозонда.

3. ДИАГНОСТИКА ИОНОСФЕРЫ НЕПРЕРЫВНЫМИ ЛЧМ-СИГНАЛАМИ

3.1. Сравнение результатов импульсного и ЛЧМ-зондирования

В мае 1985 г. были проведены эксперименты по сравнению ре-

зультатов зондирования ионосферы методом ВЗ с помощью импульсного ионозонда и ионозонда с непрерывным ЛЧМ-сигналом / 15 /. Оба ионозонда находились в непосредственной близости друг от друга. ЛЧМ-ионозонд имел следующие основные параметры: $f = 100$ кГц/с, $P \approx 50$ Вт, а импульсный $T_u = 100$ мкс и $P \approx 5$ кВт. Эксперименты проводились в п. Зименки (Горьковской области).

На рис. 3.1а,б приведены ионограммы ВЗ полученные одновременно импульсным и ЛЧМ-ионозондами, соответственно.

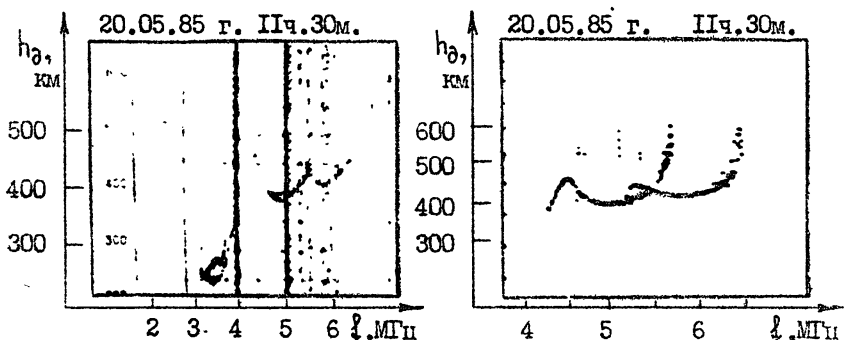


Рис. 3.1

Сравнивая ионограммы можно заключить, что ЛЧМ-ионозонд с мощностью излучения $P = 50$ Вт и $f = 100$ кГц/с обладает более высоким энергетическим потенциалом (ионограмма импульсного зондирования более "зашумлена") и лучшей разрешающей способностью, чем импульсный зонд с мощностью излучения $P \approx 5$ кВт и длительностью импульса 100 мкс. Этот вывод подтверждается результатами экспериментов / 16 /, где было получено, что ионограммы ЛЧМ-ионозонда с $P \approx 20$ Вт близки по качеству к ионограммам импульсного зонда с $P \approx 10$ кВт. В разделе I показано, что использование фазовых измерений при ЛЧМ-зондировании позволит дополнительно получить информацию об углах прихода и доплеровских скоростях уровней отражения, что планируется реализовать нами в ближайших экспериментах, дополнив ионозонд БК-анализатором спектра.

Эксперименты по сравнительному анализу профилей электронной концентрации в Д-области ионосферы методом частичных отражений, полученных с помощью импульсного и ЛЧМ-зондирования проводились в мае 1985 г. в том же месте.

Импульсный зонд, используемый в НИРФИ для проведения регу-

лярных наблюдений за Д-областью ионосфера, работал на частоте $f = 2,95$ МГц импульсами длительностью $\tau_u = 50$ мкс и мощностью $P = 100$ кВт.

ЛЧМ-ионозонд работал на частоте $f = 5,75 \pm 0,05$ МГц импульсами с гауссовой огибающей длительностью 0,5 с на уровне 0,38 и мощностью 1 кВт. Описание ионозонда приведено в разделе I.

Излучение линейно-поляризованного ЛЧМ-сигнала осуществлялось с помощью ромбической антенны, а для приема использовалась антennaя система НИРФИ, состоящая из 48 пар взаимно-ортогональных dipолей, что в совокупности с широкополосным фазовращателем позволило выделить в принимаемом сигнале круговые поляризации соответствующие магнито-ионным компонентам.

На рис. 3.2 представлены профили электронной концентрации, полученные при ЛЧМ (кривая 2) и импульсном (кривая 1) зондировании.

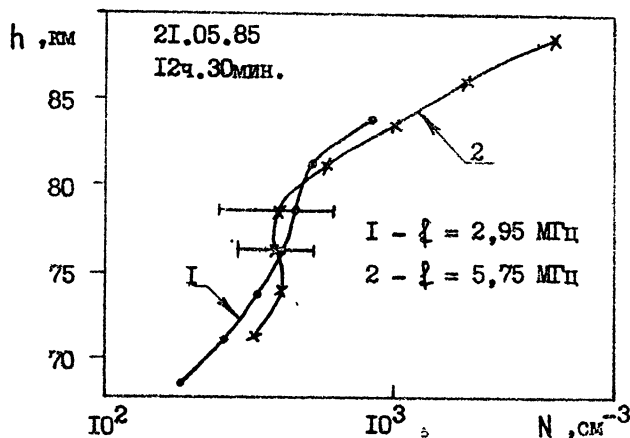


Рис. 3.2

Следует отметить большое сходство профилей, полученных с помощью различных зондов. Отличие диапазонов определения N связано со спецификой метода частичных отражений при зондировании на различных частотах.

Проведенный таким образом анализ показал большую достоверность $N(h)$ — профилей, полученных при ЛЧМ-зондировании ионосферы. Учитывая это, а также значительно меньшие, чем у импульсного зонда габариты, вес, энергопотребление, можно ожидать, что ЛЧМ-ионозонд в ближайшее время найдет в нашей стране широкое при-

менение для диагностики Д-области ионосферы методом частичных отражений.

3.2. Диагностика ионосферы ЛЧМ-сигналами на широтных трассах протяженностью 220 км и 2700 км

Известно, что в ионосфере существуют неоднородности электронной концентрации различных масштабов от долей метра до сотен и тысяч километров, механизм образования которых обусловлен различными причинами, включая неустойчивости различного типа, возникающие в системе поток заряженных частиц-плазма, источники ВГВ, связанные с высыпанием частиц в высокширотной ионосфере, прохождением терминатора и другие. Сложность решения задачи дистанционного зондирования неоднородной ионосферы радиофизическими методами предъявляет повышенные требования к разрешающей способности диагностической аппаратуры. В этой связи представляется актуальным использование для зондирования спокойной и возмущенной ионосферы ЛЧМ-ионозонда. Такие эксперименты были проведены в феврале 1986 г. на трассе Зименки (Горьковская область) – Йошкар-Ола, протяженностью ~220 км / 17 / и охватывали широкий круг решаемых задач. Например, благодаря ЛЧМ-ионозонду были обнаружены и исследованы новые физические эффекты искусственного теплового воздействия на ионосферу / 17 /.

Большое внимание было удалено так же исследованию перемещающихся ионосферных возмущений (ПИВ). На рис. 3.3 в качестве примера приведены ДЧХ, которые с одной стороны иллюстрируют высокую разрешающую способность ЛЧМ-ионозонда при регистрации слабых ПИВ, занимающих частотный диапазон ~10 кГц (рис. 3.3 а), а с другой – показывают влияние на ДЧХ сильных ПИВ (рис. 3.3 б), вызывающих существенное искажение ионограмм. Сопоставление ионограмм НЗ и ВЗ, регистрируемых в середине трассы с помощью станции импульсного зондирования "Базис", показывает, что ПИВ, регистрируемые на ионограммах НЗ не всегда наблюдаются на ионограммах ВЗ. Возможно это связано как с недостаточной разрешающей способностью станции "Базис", так и с пространственной ориентацией ПИВ, когда прием отраженных от ионосферы сигналов осуществляется не с основного направления, а с направления, соответствующего условию зеркального отражения с учетом искажения ПИВ профиля электронной концентрации регулярной ионосферы. В этой связи представляется необходимой информация о фазе, доплеровских скоростях, углах прихода и поляризации отраженных ЛЧМ-сигналов, методика

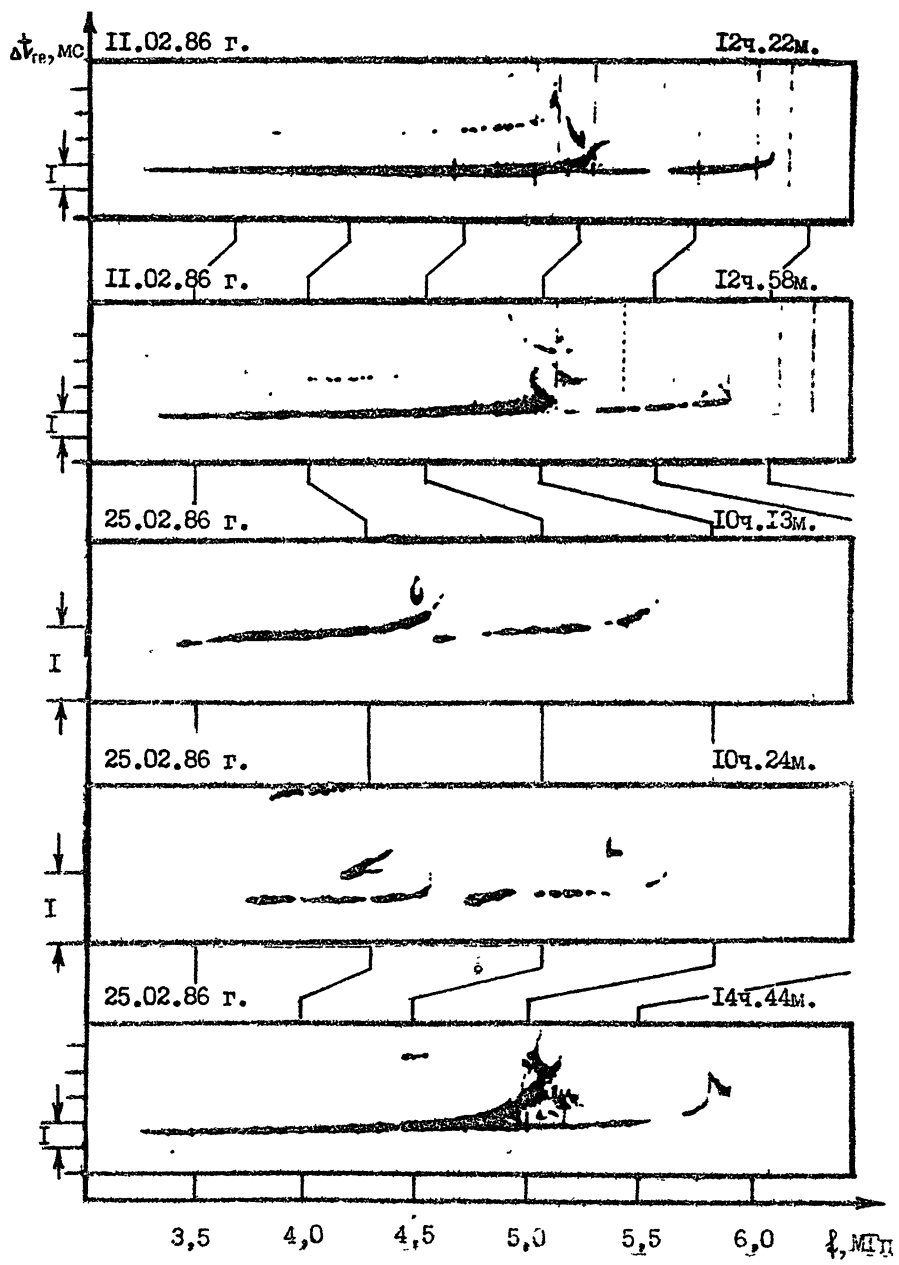


Рис. 3.3а

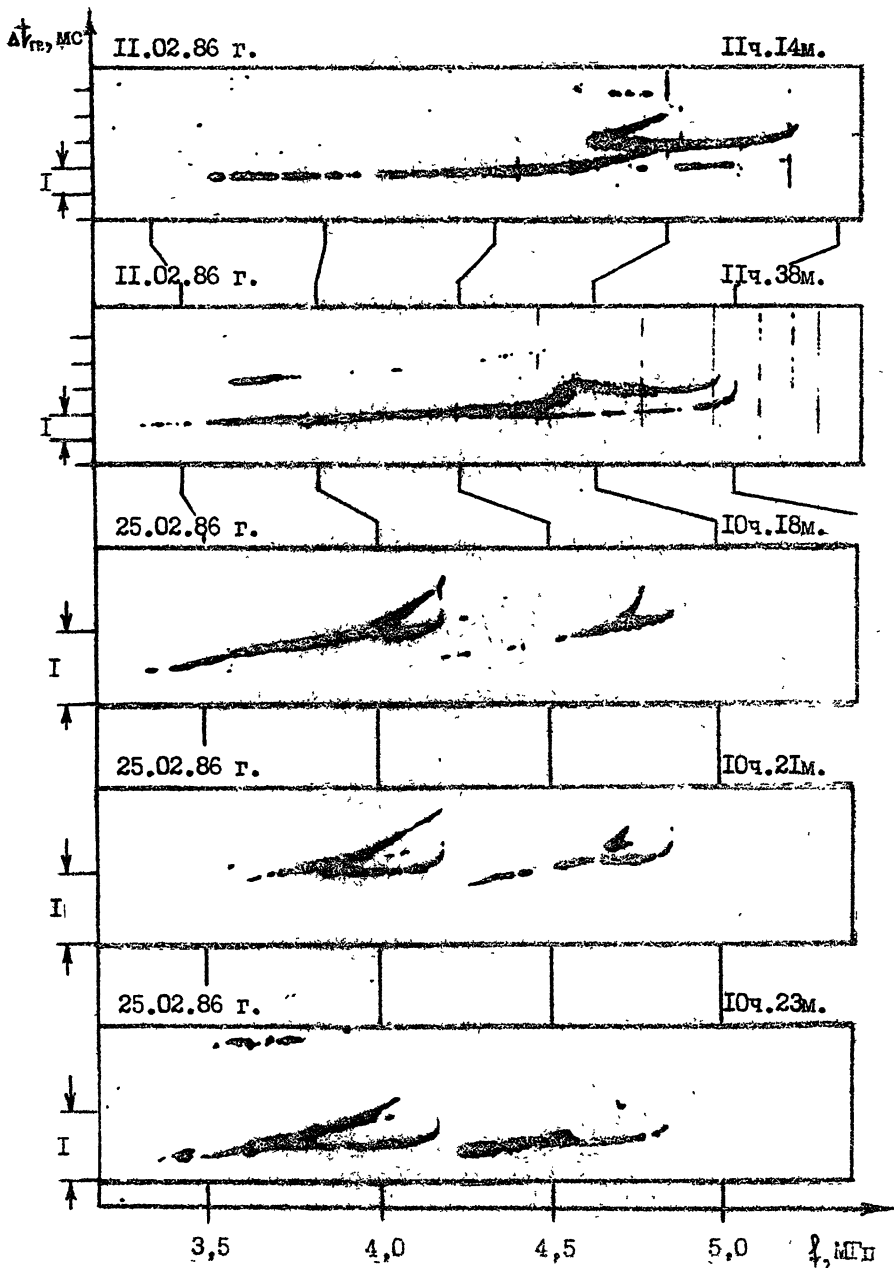


Рис. 3.36

измерения которых изложена в разделе I, что позволит построить адекватную модель возмущений.

Диагностические возможности ЛЧМ-ионозонда были продемонстрированы в режиме наклонного зондирования среднеширотной ионосфера на трассе протяженностью ~2700 км. Эксперимент проводился в июне-июле 1987 г. Излучение и прием КВ сигналов осуществлялось в диапазоне частот 5..26 МГц на стандартные горизонтальные ромбические антенны. Использованы два режима скорости перестройки частоты сканирования: $\frac{f}{f_0} = 50$ и 300 кГц/с. В приемном пункте регистрировались ДЧХ и АЧХ. Одновременно в приемном пункте регистрировались ионограммы вертикального импульсного зондирования станции АИС. Измерения проводились практически непрерывно в течение полного времени суток. Для ионограмм, зарегистрированных на данной трассе характерна многомодовая структура и большая изменчивость с течением времени. На рис. 3.4 в качестве примера представлены ДЧХ, иллюстрирующие основные типы ионограмм НЗ. Отличительной особенностью ионограмм является присутствие интенсивной, протяженной по частоте моды $2E_5$, обусловленной двукратным отражением сигнала от спорадического слоя E_5 . Мода $2E_5$ часто регистрировалась на частотах выше МНЧ F_1 , F_2 , вплоть до конца частотного диапазона сканирования. Наличие моды $2E_5$ хорошо коррелирует с появляемостью E_5 , регистрируемого на ионограммах ВЗ в пункте приема. Это обстоятельство представляет, на наш взгляд, определенный интерес и может быть использовано в дальнейшем для установления количественных оценок статистической зависимости появляемости мод, распространяющихся через E_5 с данными ВЗ на трассе распространения. Уровень сигнала моды $2E_5$ сопоставим с амплитудой сигналов, прошедших верхней (через слой F_1 , F_2) ионосферой.

Высокая разрешающая способность по частоте и групповому запаздыванию различных мод распространения позволила получить интересные данные, отражающие влияние дополнительных ионосферных слоев. В этой связи обращают на себя внимание ионограммы НЗ, характерный пример которых показан на рис. 3.4д. На этой ионограмме, наряду с модами, идентифицируемыми как моды $1F2$, $2F2$ и т.д., наблюдается непрерывный след, для которого характерно уменьшение группового времени распространения с частотой. Этот след начинается на частотах вблизи ННЧ моды $2F2$ и плавно переходит с ростом частоты в нижний луч моды $1F2$. Для интерпретации полученных данных было проведено численное моделирование условий распространения путем решения системы линейных уравнений / 5 /.

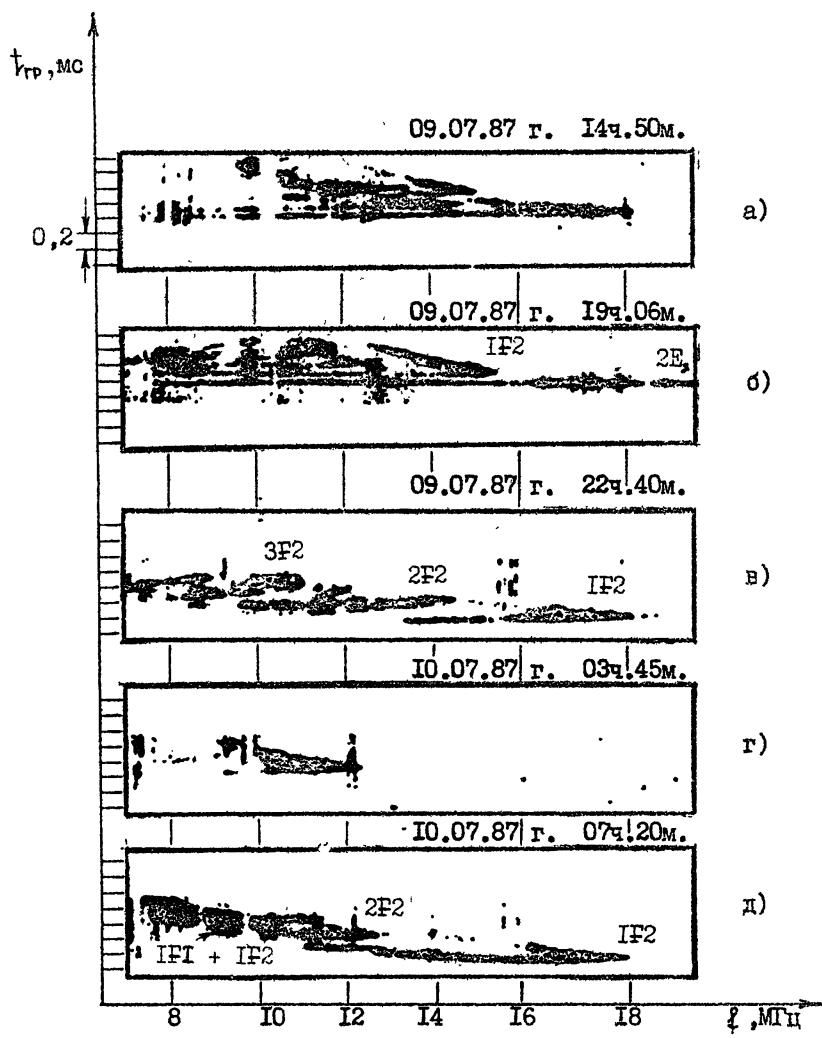


Рис. 3.4

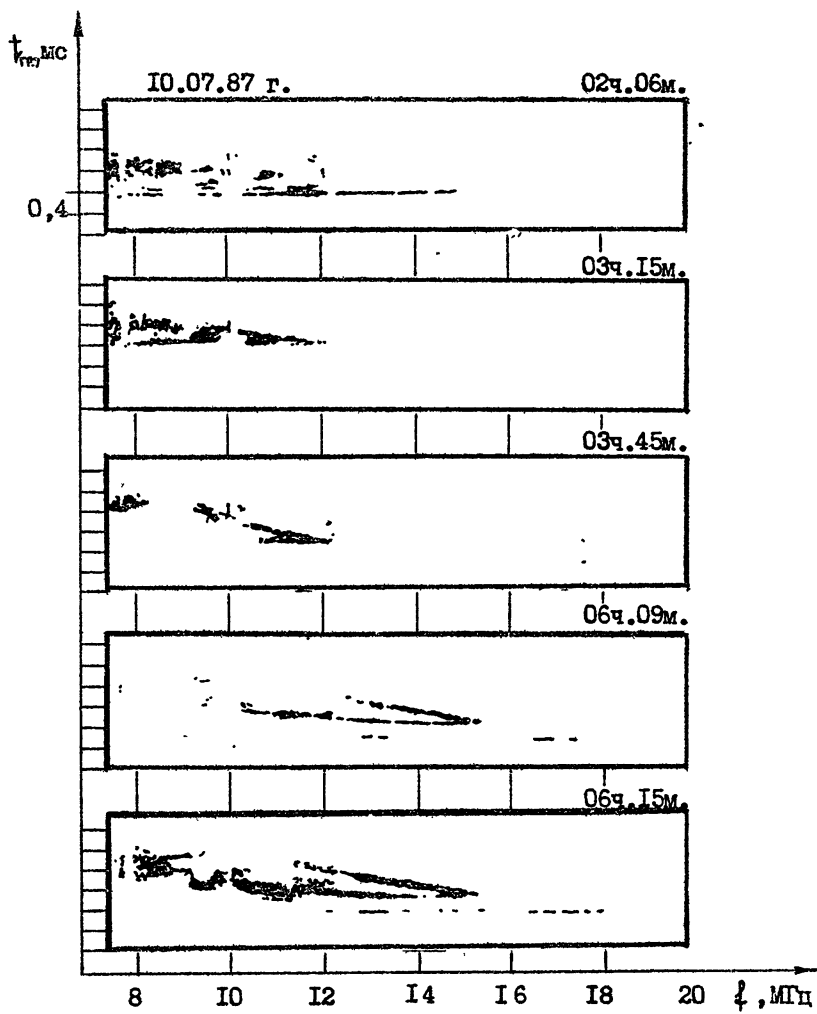


Рис. 3.5а

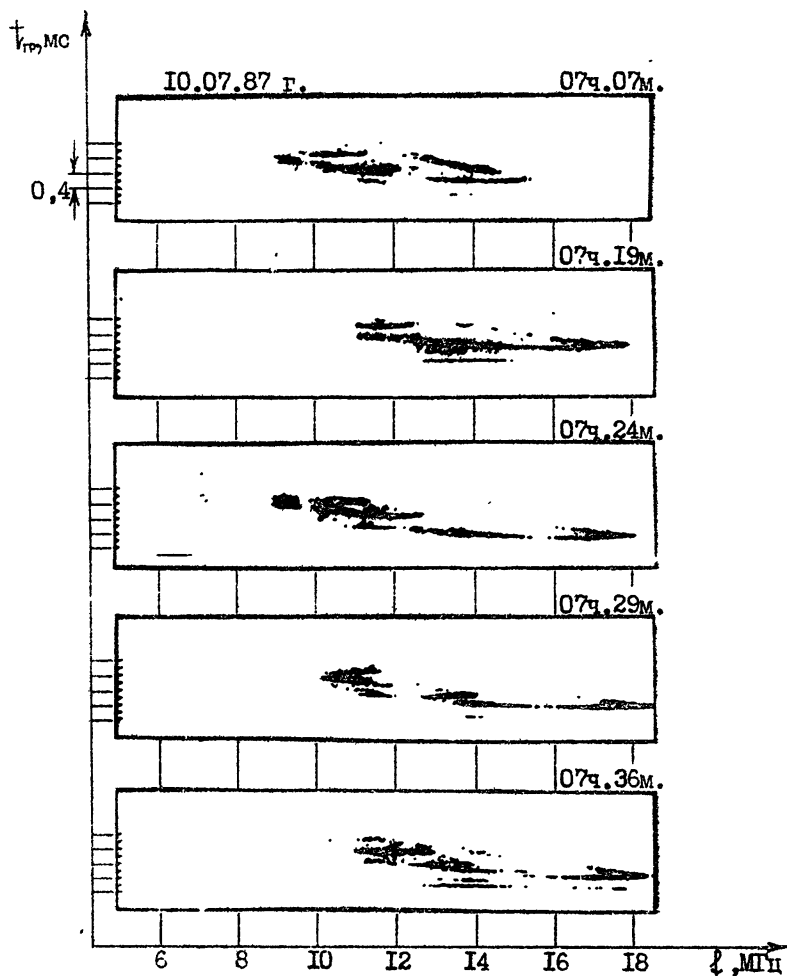


Рис.3.5 σ

Согласно расчетам этот след обусловлен комбинированным способом распространения через слои F_1 и F_2 (моды $IF1 + 2F2, IF1 + IF2$). При этом часть пути (в основном на более низких частотах) траектория проходит лучом Педерсена в окрестности максимума электронной концентрации слоя F_1 , что в значительной мере определяет наблюдаемый ход времени распространения данной моды с частотой.

Интересные данные были получены по исследованию динамики изменения АЧХ с течением времени. На рис.3.5 для сравнения приведены серии ионограмм АЧХ, снятые через 5 – 40 мин в разное время суток. Из рисунка видно, что во время перестройки ионосфера (утренние часы, рис.3.5б) происходят быстрые и заметные изменения МПЧ и модовой структуры сигнала, сведения о которых имеют важное значение для практики радиосвязи.

Характерной особенностью ночных ионограмм НЗ является диффузность отраженных сигналов в окрестности МНЧ мод $IF2, 2F2, 3F2$ (рис.3.6), связанная с F рассеянием вперед на среднемасштабных неоднородностях с размерами $\ell \sim 0,1\dots 1$ км.

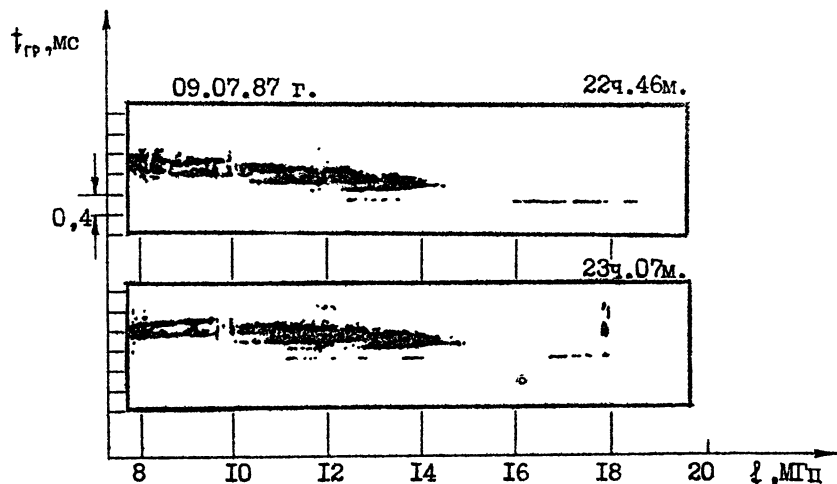


Рис. 3.6

Как показал анализ АЧХ, уровень сигналов различных мод претерпевает в течении суток значительные вариации. Это обусловлено

изменением ионосферных условий на трассе распространения, вариациями поглощения, углов прихода различных мод сигнала. Характерной особенностью АЧХ является фокусировка сигналов мод 2F2, 3F2 в вечернее время (МСК).

На рис.3.7 представлены ДЧХ трассы (а) и АЧХ (б) для различных мод, относящихся к данному сеансу. Из рисунка видно, что в течении длительного времени в окрестности МНЧ моды 3F2 в полосе частот $\Delta f \sim 2\ldots 3$ МГц имеет место фокусировка сигналов, амплитуда которых превышает уровень сигналов мод 1F2, 2F2 на 8...12 дБ. Периодичность такого эффекта ($T \sim 30$ мин), повидимому, связана с крупномасштабными ПИВ. Учитывая, что скорость ПИВ составляет величину $V \sim 100$ м/с, получим, что характерный размер ПИВ $L = VT \sim 180$ км, что согласуется с данными /18/.

В марте-апреле 1988 г. проводился эксперимент по наклонному зондированию ионосфера с помощью ЛЧМ ионозонда на среднеширотной трассе протяжённостью 5830 км. Излучение и приём непрерывных ЛЧМ сигналов в диапазоне частот 5...26 МГц осуществлялось на горизонтальные ромбические антенны. Измерения проводились непрерывно в течение 15 дней. На рис.3.8 в качестве примера представлены ДЧХ, полученные в разное время суток. В основном наблюдалось двухмодовое распространение через F слой ионосферы – моды 2F2, 3F2. В ряде случаев наблюдалось расслоение верхнего луча что, по-видимому, обусловлено многоскаковым распространением луча Педерсена.

Заслуживает внимание экспериментальный факт плохого прохождения КВ сигналов вочные часы $\sim 00^{\circ}\ldots 04^{\circ}$ мск. Это может быть связано с рядом причин, в том числе, снижением МНЧ на трассе, увеличением уровня стационарных помех, ухудшением эффективности работы используемых антенн в нижней части КВ диапазона. Вместе с тем, как показывают расчеты, существенное влияние на ионосферное прохождение сигналов оказывает распределение электронной концентрации вдоль трассы распространения. Отличительной особенностью данной трассы, проходящей вочные часы периода равноденствия ортогонально терминатору с дневной на ночную сторону, является сильный отрицательный градиент электронной концентрации. Вследствие рефракции такой градиент приводит к отрыву траекторий от поверхности Земли и концентрации энергии излучаемых радиоволн в приподнятом ионосферном канале. Это подтверждают расчёты лучевых траекторий, проведённые на основе прогнозных данных ионосферных параметров. В качестве примера на рис 3.9 приведены результаты траекторных расчётов для частоты $f = 12$ МГц и углов излучения $0\ldots 7^{\circ}$. Согласно существую-

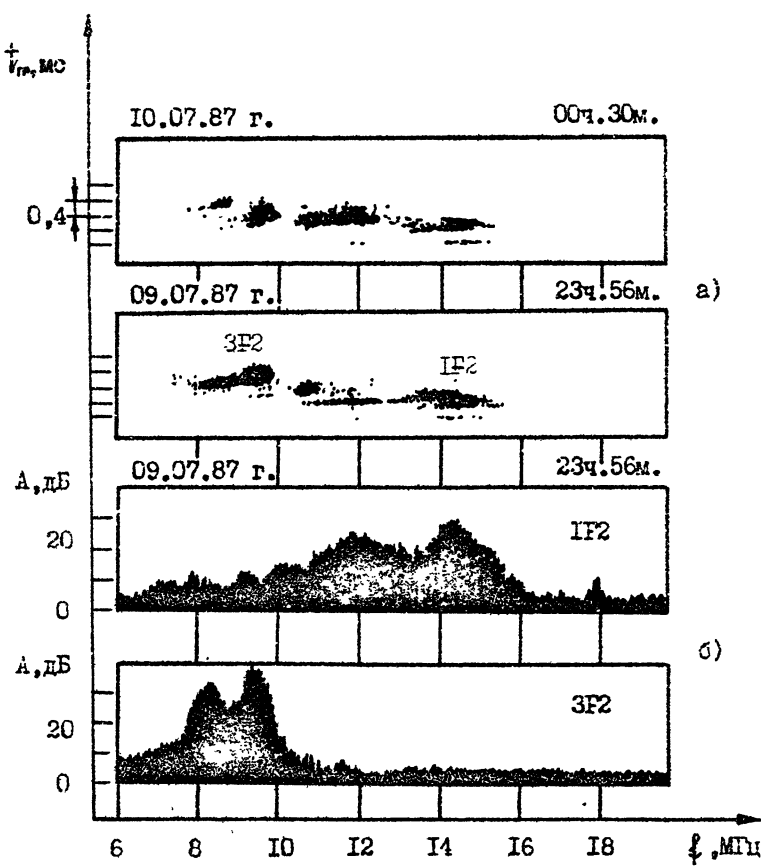


Рис. 3.7

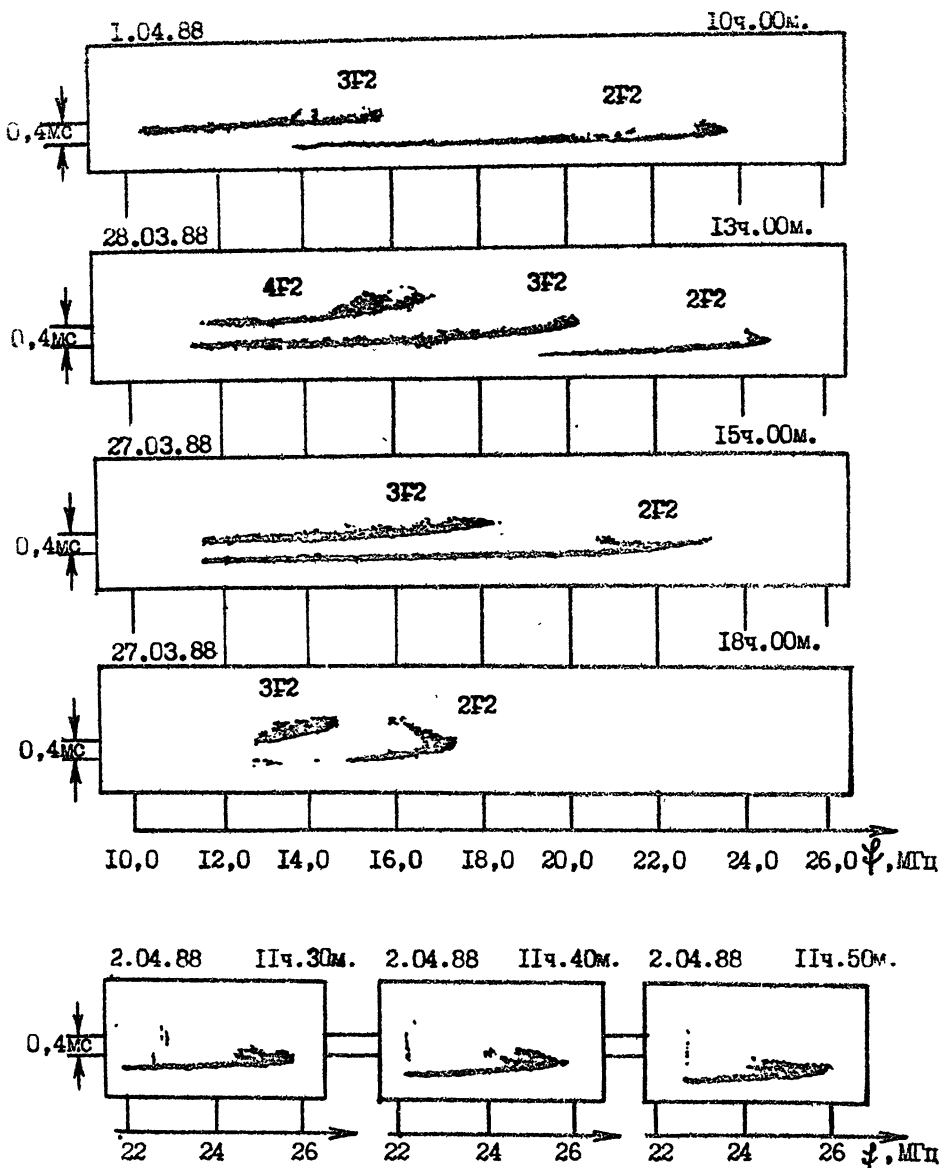


Рис. 3.6

щим представлениям /19-21/ вывод на поверхность Земли приподнятых мод может осуществляться как путём рефракции радиоволн на крупномасштабных градиентах электронной концентрации и локализованных крупномасштабных возмущениях, так и за счёт рассеяния радиоволн на ионосферных неоднородностях естественного или искусственного происхождения. Практическое решение этих вопросов может представлять интерес для диагностики волноводных мод распространения и некоторых задач ионосферного распространения ИВ.

В целом, анализ полученных данных свидетельствует о широких возможностях ЛЧМ диагностики для исследования тонкой модовой структуры сигнала, обусловленной как расслоениями ионосферных слоев, так и влиянием на характеристики сигнала ионосферных возмущений различных масштабов ~ 0,1...100 км.

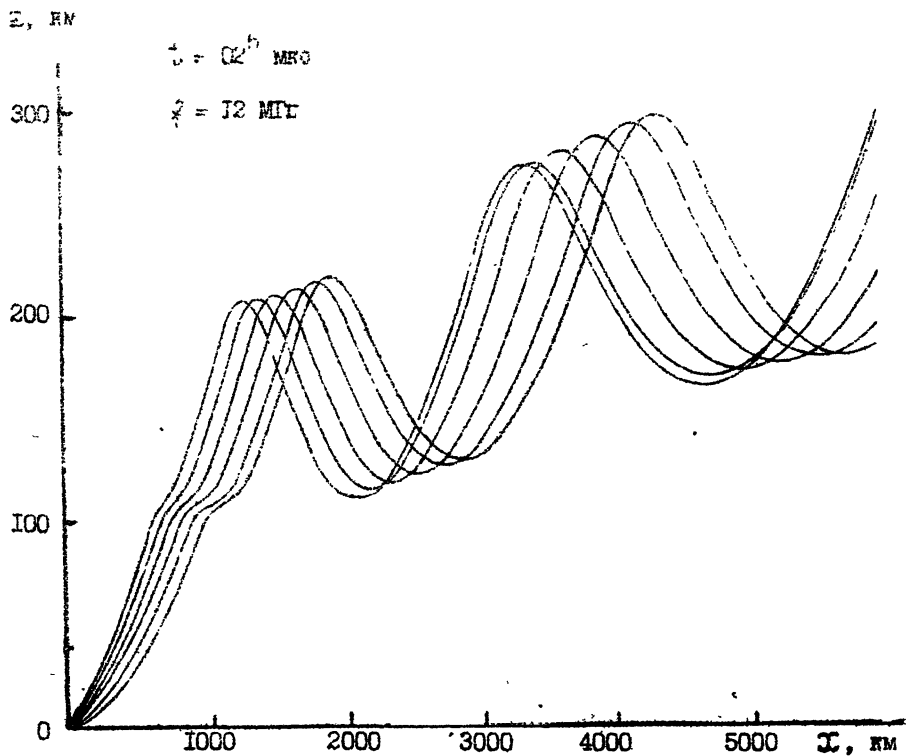


Рис. 3.9

ЗАКЛЮЧЕНИЕ

Сформулируем основные результаты работы:

- впервые в СССР разработан и экспериментально проверен на трассах ВЗ и НЗ ($\vartheta \sim 220, 2700, 5830$ км) ионозонд с непрерывным излучением линейно-частотных-модулированных (ЛЧМ) сигналов в диапазоне частот 3...30 МГц;
- теоретически показано и экспериментально продемонстрированы преимущества ЛЧМ-ионозонда по сравнению с импульсным ионозондом; получено, что мощность излучения 50...80 Вт ЛЧМ-ионозонда обеспечивает такое же качество ионограмм ВЗ, что и мощность излучения ~ 10 кВт импульсного ионозонда;
- экспериментально проверена возможность использования ЛЧМ-ионозонда для диагностики нижней ионосферы (Д-область) методом частичных отражений и показана его перспективность для получения профилей электронной концентрации;
- экспериментально продемонстрированы возможности использования ЛЧМ-ионозонда для диагностики ионосферных возмущений различных масштабов (0,1...100 км) с целью решения обратной задачи дистанционного зондирования ионосферы на основе синтеза ионограмм ВЗ и НЗ в 3^Х мерной неоднородной ионосфере;
- ЛЧМ наклонное зондирование ионосферы на трассе протяженностью 2700 км позволило выделить тонкую модовую структуру сигнала, обусловленную расслоением ионосферных слоев и обнаружить фокусировку моды 3F2 в окрестности каустической поверхности.

Проведенные исследования по диагностике ионосферы с помощью ЛЧМ-ионозонда убедительно продемонстрировали широкие возможности его использования для решения самых разнообразных задач ионосферного распространения КВ. Выделим среди них, на наш взгляд, наиболее перспективные. Свете полученных данных и теоретических сценария становятся очевидными преимущества использования ЛЧМ-ионозонда на трассах большой протяженности для прогнозирования условий распространения радиоволн в реальном масштабе времени. Высокая чувствительность и разрешающая способность ЛЧМ-ионозонда делают его весьма перспективным инструментом для исследования радиоавиации на полярных и трансполярных трассах и изучения ионосферы методом ВНЗ. В заключении заметим, что применение ЛЧМ-ионозонда в ионосферных исследованиях в сочетании с встроенной микроЭВМ для предварительной обработки данных позволит решать научные и практические задачи распространения радиоволн на более высоком научном уровне.

Л и т е р а т у р а

- I. Lynch I.T., Fenwick R.B., Villard O.P., Measurement of vast time-delay resolution obtainable along east-west and north-south ionospheric paths // Radio Sci. - 1972. - v. 7, 10. - p. 925-929.
2. Вакман Д.Е. Асимптотические методы в линейной радиотехнике. - М.: Сов. радио, 1962.
3. Вакман Д.Е. Сложные сигналы и принцип неопределенности в радиолокации. - М.: Сов. радио, 1965.
4. Иванов В.А. Особенности распространения коротковолновых ЛЧМ-радиосигналов в регулярной ионосфере. // Марийский политех. ин-т, Йошкар-Ола, - Деп. в ВИНИТИ №3064-85, 1985. - 41 с.
5. Ерухимов Л.М., Иванов В.А., Митяков Н.А. и др. ЛЧМ-метод диагностики ионосферного канала КВ-связи // Марийский политех. ин-т. - Йошкар-Ола, 1986 - 95 с.- Деп. в ВИНИТИ №9027 - В86.
6. Варакин Л.Т. Теория систем сигналов - М: Сов. радио, 1976.
7. Poole A.W.V. Advanced sounding. 1 The FM-CW alternative // Radio Sci. - 1985. - v. 20, 6 - p. 1609-1616.
8. Poole A.W.V. Advanced sounding. 2 First results from an advanced chirp ionosonde // Radio Sci. - 1985. - v. 20, 6 - p. 1617-1623.
9. Rinnert K., Schlegel K., Kramm R. A partial reflection experiment using the FM-CW technique // Radio Sci. - 1976. - v. 11, n. 2, - p. 1009.
10. Иванов В.А. Исследование Д-области ионосферы методом частичных отражений // Марийский политех. ин-т. - Йошкар-Ола, 1985. - 196 с. - Деп. в ВИНИТИ №8349 - В85.
- II. Fraser G.J. The measurement of atmospheric winds at altitudes of 64-120 km using ground-based radio equipment // J. Atmosph. Sci. - 1965. - v. 22, n. 2, p. 217-218.
12. Бенедиктов Е.А., Гришкевич Л.В., Ежов А.И. и др. Результаты исследования применений в нижней ионосфере методом частичных отражений. // Сб.: Ионосферные исследования. Наука. Москва, 1975, №23, с. 10-15.

- I3. Бенедиктов Е.А., Гришкевич Л.В., Иванов В.А. и др. Исследование дифракционной картины, возникающей на поверхности Земли при обратном рассеянии радиоволн неоднородностями нижней ионосферы // Изв. вузов. Радиофизика. - 1974. - т.17, № 6. - с.798-807.
- I4. А.С. № 1259470 (СССР) МНИ НОЗ С 3/08. Цифровой формирователь ЛЧМ-сигналов.// Шумаев В.В., Иванов В.А., Фролов В.А.(СССР). - № 3704272/24 - 09; Заявл. 04.01.84. Опубл. 23.09.86. Бюл. № 35-262 с: ил.
- I5. Иванов В.А., Фролов В.А., Шумаев В.В. Зондирование ионосферы непрерывными ЛЧМ-радиосигналами.//Изв.вузов. Радиофизика. - 1986. - т.29, № 2. - с.235-237.
- I6. Nozaki Kenrou, Kikuchi Takachi. A new multimode FM-CW ionosonde.// Mem.Nat.Inst.Polar Research.- 1987, Spec.N 47. - I.217 - 224.
- I7. Ерухимов Л.М., Иванов В.А., Митяков Н.А. и др. Исследование частотных характеристик декаметровых радиоволн при зондировании ионосферы, возмущенной мощным радиоизлучением.// Принт № 236, НИРФИ, Горький, 1987.
- I8. Афраймович Э.Л. Интерференционные методы радиозондирования ионосферы. - М.: Наука, 1982.
- I9. Ерухимов Л.М., Матюгин С.Н., Урядов В.П. К вопросу о распространении радиоволн в ионосферных волновых каналах.//Изв.вузов. Радиофизика. - 1975. - т.18, № 9. - с.1297-1304.
- I20. Гуревич А.В., Ерухимов Л.М., Ким В.Ю. и др. Влияние рассеяния на захват радиоволн в ионосферные волновые каналы.//Изв. вузов. Радиофизика. - 1975. - т.18, № 9. - с.1305-1316.
- I21. Кравцов Ю.А., Тинин М.В., Черкашин Ю.Н. О возможных механизмах возбуждения ионосферных волновых каналов.//Геомагнетизм и астрономия. - 1979. - т.19, № 5. - с.769-787.

СОДЕРЖАНИЕ

Стр.

Введение	3
I. Методика зондирования ионосферы непрерывными ЛЧМ-сигналами	4
I.1. Вертикальное и наклонное зондирование регулярной ионосфера	4
I.2. Зондирование нижней ионосферы методом частичных стражений	12
2. ЛЧМ-ионозонд	18
2.1. ЛЧМ-ионозонд для вертикального зондирования ионосфера	19
2.2. ЛЧМ-ионозонд для диагностики D-области ионосферы методом частичных отражений	21
2.3. ЛЧМ-ионозонд для наклонного зондирования ионосферы	21
2.4. ЛЧМ-синтезатор синусоидального сигнала	22
3. Диагностика ионосферы непрерывными ЛЧМ-сигналами . .	25
3.1. Сравнение результатов импульсного и ЛЧМ-зондирования	25
3.2. Диагностика ионосферы ЛЧМ-сигналами на широтных трассах протяженностью 220 км, 2700 км, 5830 км. . .	28
Заключение	40
Литература	41

Лев Михайлович Ерухимов
Владимир Алексеевич Иванов
Николай Анатольевич Митяков
Валерий Павлович Урядов
Владimir Александрович Фролов
Владимир Васильевич Шумаков

ЛЧМ-ИОНОЗОНД И ЕГО ПРИМЕНЕНИЕ В ИОНОСФЕРНЫХ
ИССЛЕДОВАНИЯХ

Подписано к печати 15.06.88 г. № 00834 формат 60x84/16
Бумага писчая. Печать офсетная. Объем 2,65 п. л. Тираж 120.
Заказ 4742. Бесплатно.
